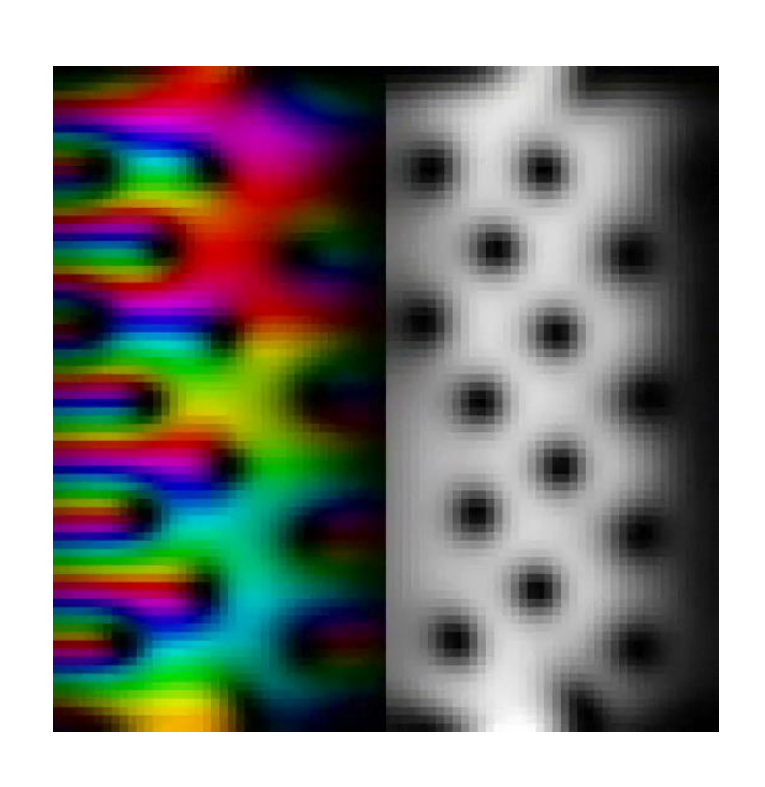
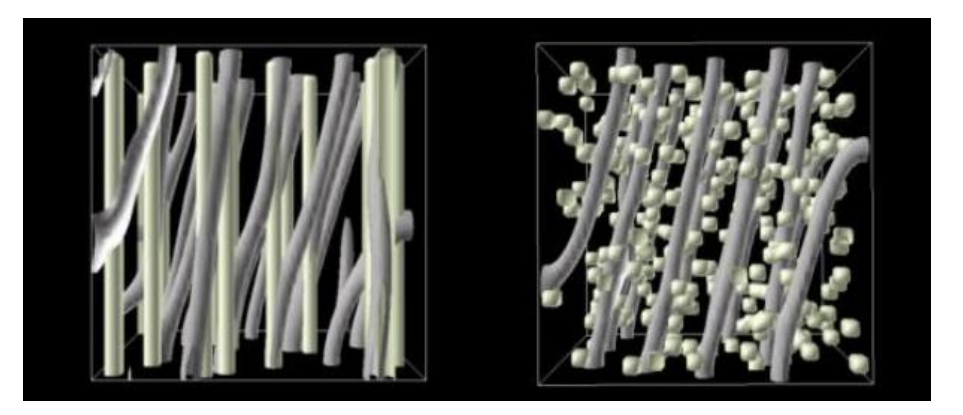
縦磁界下の超伝導細線における 磁束線の運動に関するTDGL シミュレーション

<u>增田嘉道</u>,小田部 荘司,木内 勝(九工大) 馬渡 康徳(産総研),松野 哲也(有明高専)

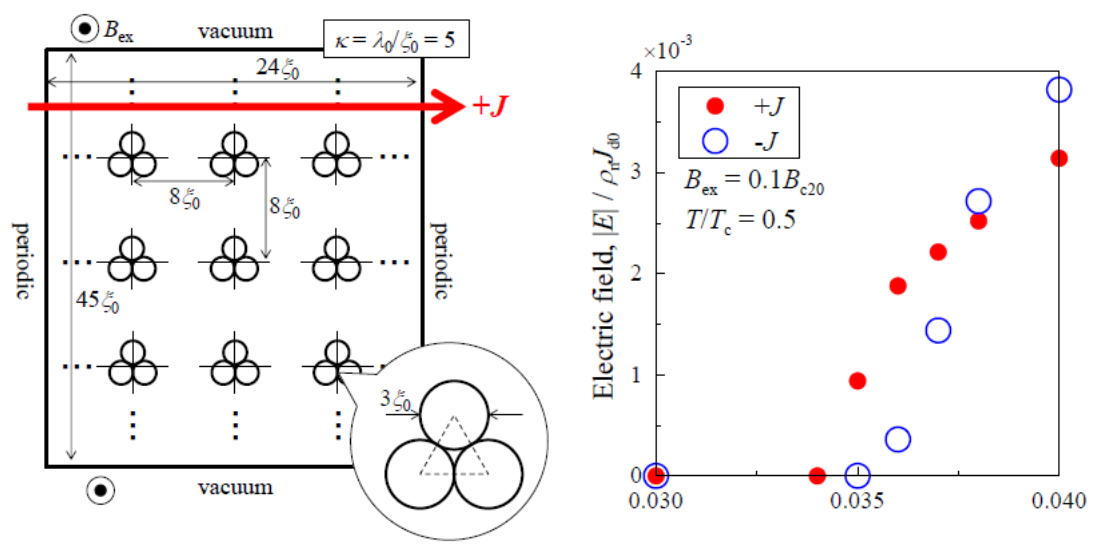
2016/01/19 九州工業大学サテライト福岡天神 イムズ11階 量子化磁東運動学シミュレーション研究グループ 第二回研究会

GL方程式やTDGL方程式を用いた最近の研究





松本 要(九工大)

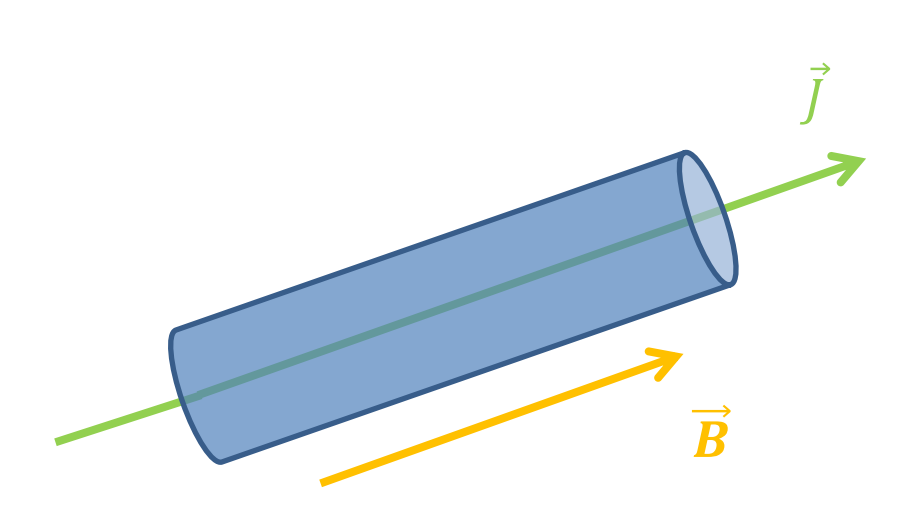


一野ら:第75回秋季応用物理学会学術講演会(2014), 17p-A21-15

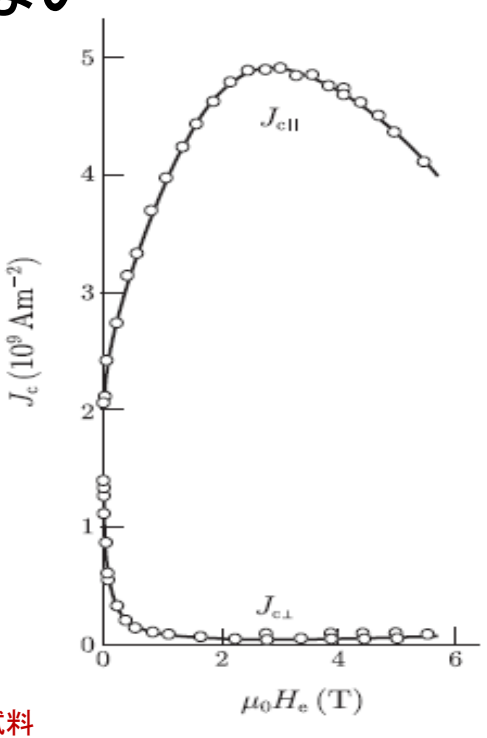
縱磁界効果

- 電流に磁界を平行に印加する
- 磁束線にローレンツカが働かない

• 臨界電流密度J_cの増加



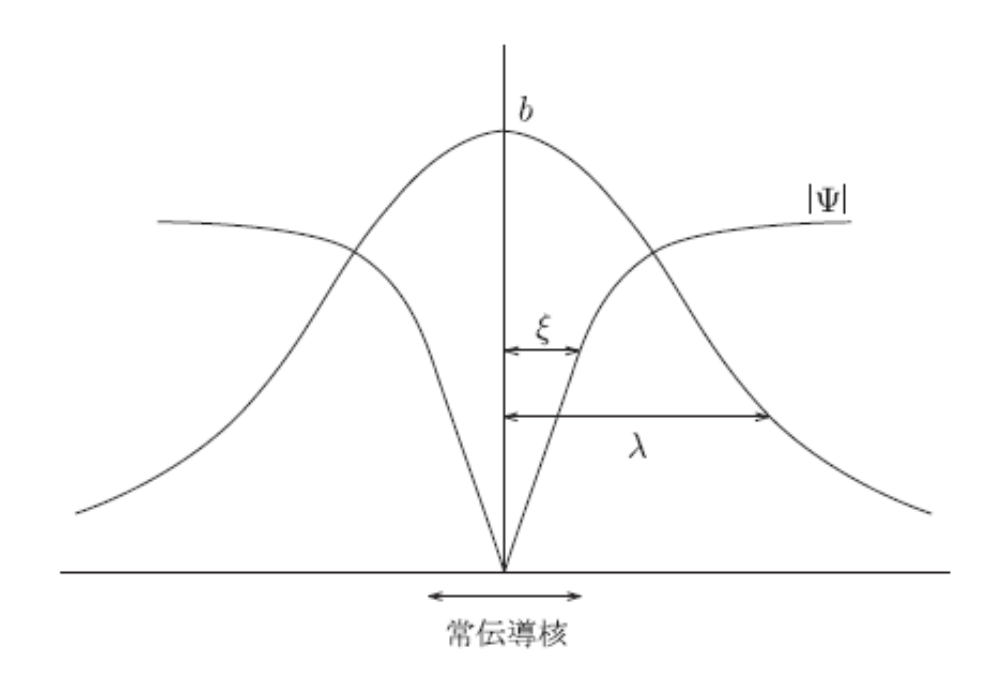




Yu. F. Bychikov et.al.

TDGL方程式の簡易化

- 1. 非常に細い超伝導体を仮定
- 2. TDGL方程式でパラメータを規格化



非常に細い超伝導体を仮定

全体に磁界が進入するほどの超伝導体を仮定





ベクトルポテンシャルが磁界に依存する変数

具体的には

$$\mathbf{A} = \begin{cases} B_{\text{ext}} y \mathbf{i}_y & (\mathbf{B} \perp \mathbf{J}) \\ B_{\text{ext}} z \\ \frac{1}{2} \mathbf{i}_x - \frac{B_{\text{ext}} x}{2} \mathbf{i}_z & (\mathbf{B} \parallel \mathbf{J}) \end{cases} \qquad (\mathbf{J} = J_y \mathbf{i}_y)$$

TDGL方程式でパラメータを規格化

$$\frac{1}{\xi} x \to x, \frac{|\alpha|}{\gamma} t \to t, \frac{2e\gamma}{|\alpha|} V \to V$$

$$\frac{1}{\sqrt{2}\kappa H_c} A \to A, \left(\frac{\beta}{|\alpha|}\right)^{1/2} \Psi \to \Psi$$

$$\frac{\partial \Psi}{\partial t} + iV\Psi + (-i\nabla - \mathbf{A})^2 \Psi - \Psi + |\Psi|^2 \Psi = 0$$

$$\otimes \left(\frac{2}{3}\right)^{3/2} \frac{1}{\sqrt{2} J_c} J \rightarrow J となるため J < \left(\frac{2}{3}\right)^{3/2} \frac{1}{\sqrt{2}} \approx 0.385$$
に設定

実際に解く方程式

$$\begin{cases} \frac{\partial \Psi}{\partial t} + iV\Psi + (-i\nabla - A)^2 \Psi - \Psi + |\Psi|^2 \Psi = 0 \\ \sigma \nabla^2 V = \frac{1}{2} (\Psi^* \nabla^2 \Psi - \Psi \nabla^2 \Psi) - \nabla \cdot (|\Psi|^2 A) \end{cases}$$

第一式はTDGL方程式から

第二式は電流の発散から

$$(\boldsymbol{J}_{\mathrm{s}} = \frac{1}{2} (\boldsymbol{\Psi}^* \nabla \boldsymbol{\Psi} - \boldsymbol{\Psi} \nabla \boldsymbol{\Psi}^*) - |\boldsymbol{\Psi}|^2 \boldsymbol{A}, \boldsymbol{J}_{\mathrm{n}} = \sigma \nabla V)$$

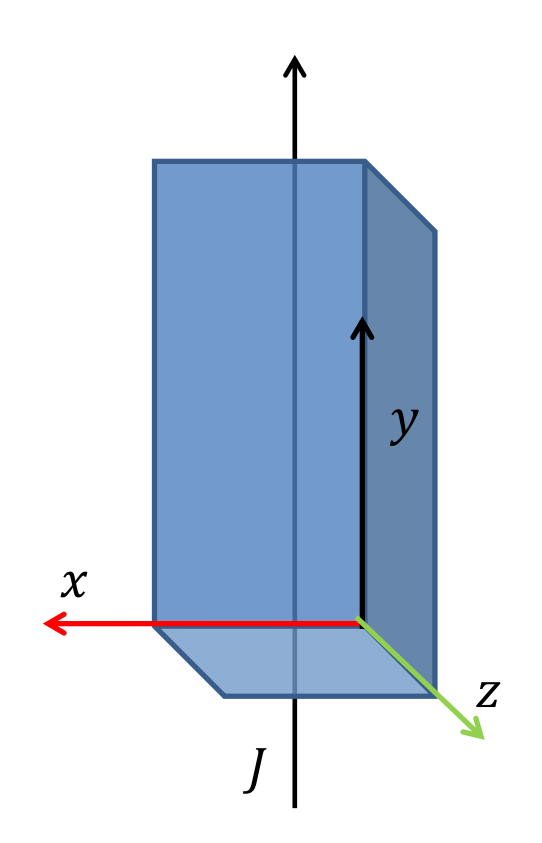
初期条件•境界条件

初期条件

- $\Psi(t=0) = \cos\theta + i\sin\theta$
- $V(t=0) = \sigma J y$

境界条件

- $\boldsymbol{n} \cdot (\nabla \Psi i\boldsymbol{A}\Psi) = 0$
- $\nabla V = \sigma I$



真空に囲まれた超伝導体を仮定

プログラムへの実装

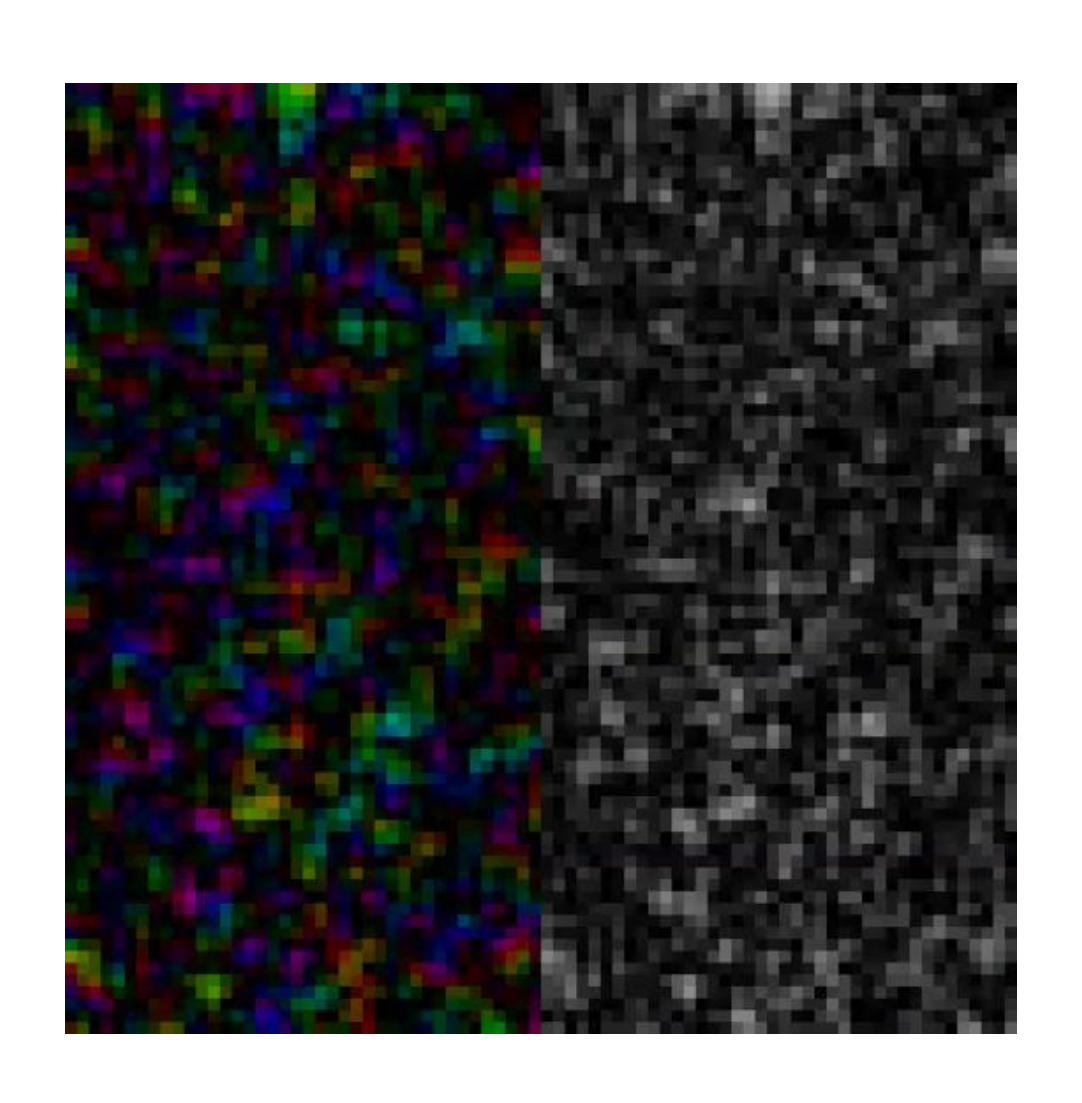
$$\frac{\partial \Psi}{\partial t} + iV\Psi + (-i\nabla - \mathbf{A})^2 \Psi - \Psi + |\Psi|^2 \Psi = 0$$

- 2次のシンプレクティック法を参考にしたオイラー法
- 実部: $+\frac{1}{2}\Delta t \rightarrow$ 虚部: $+\Delta t \rightarrow$ 実部: $+\frac{1}{2}\Delta t$

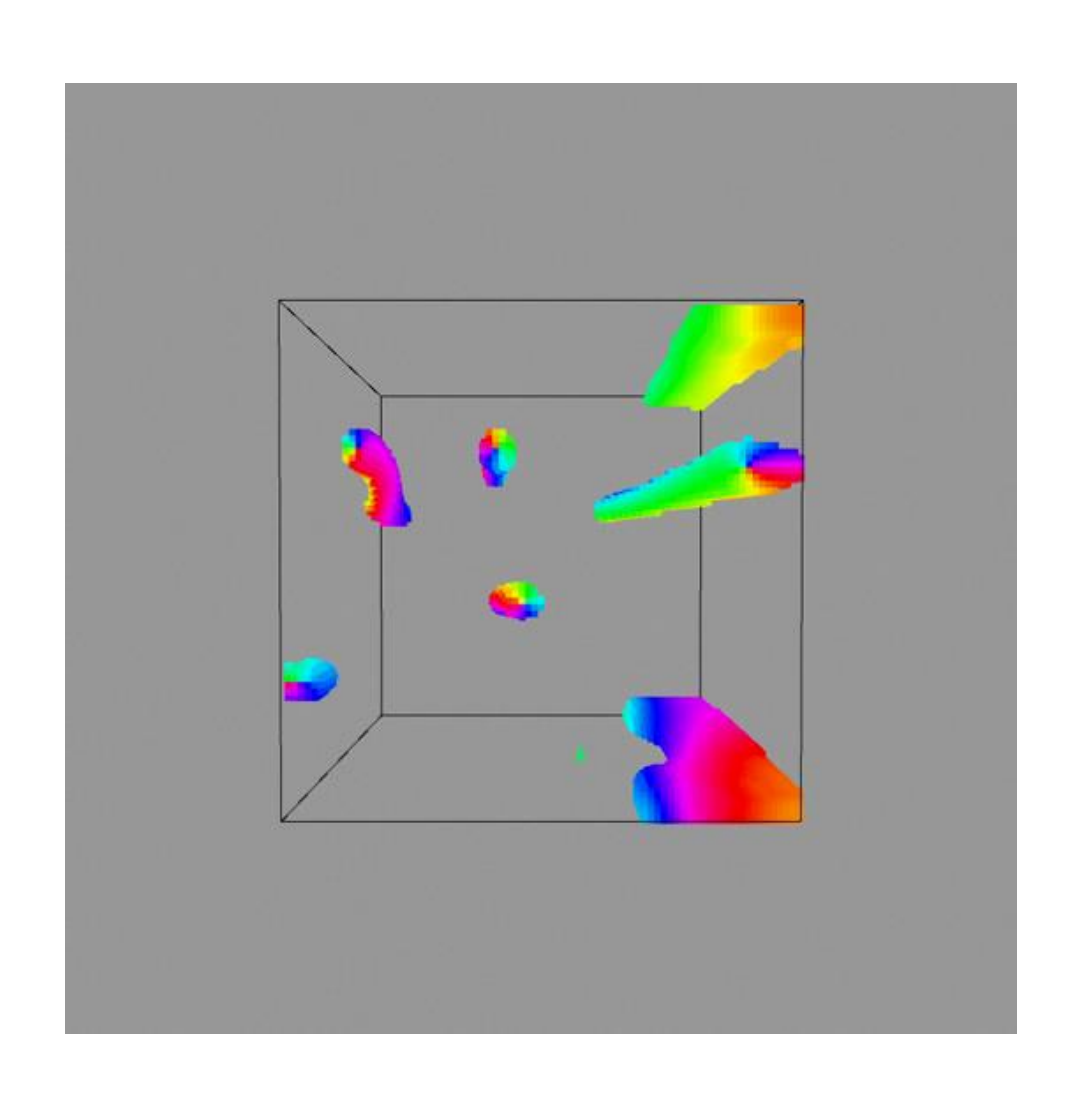
$$\sigma \nabla^2 V = \frac{1}{2} (\Psi^* \nabla^2 \Psi - \Psi \nabla^2 \Psi) - \nabla \cdot (|\Psi|^2 \mathbf{A})$$

- ・ ガウス=ザイデル法
- 変化量が一定になるまで繰り返し計算

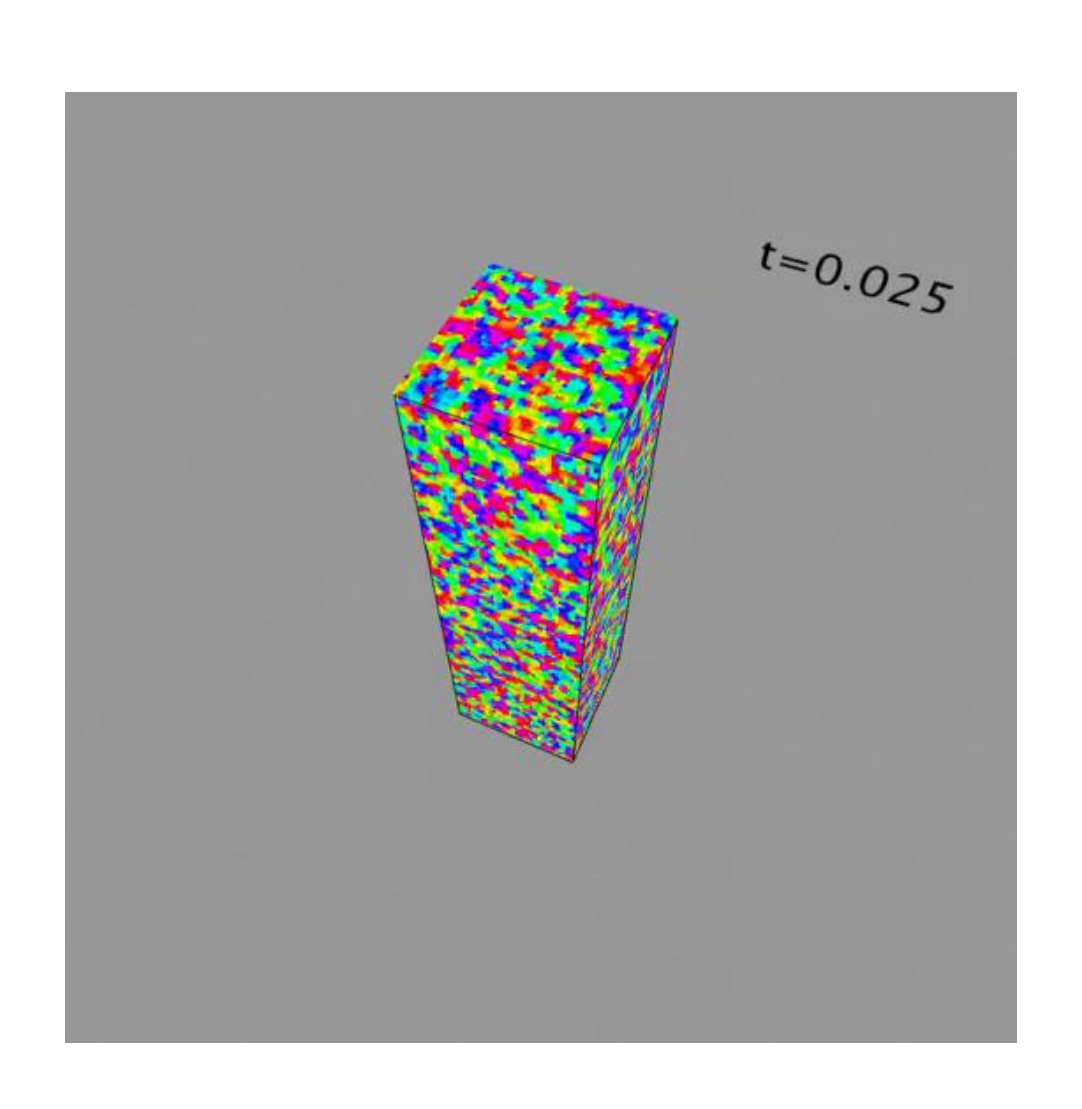
計算結果:2次元横磁界



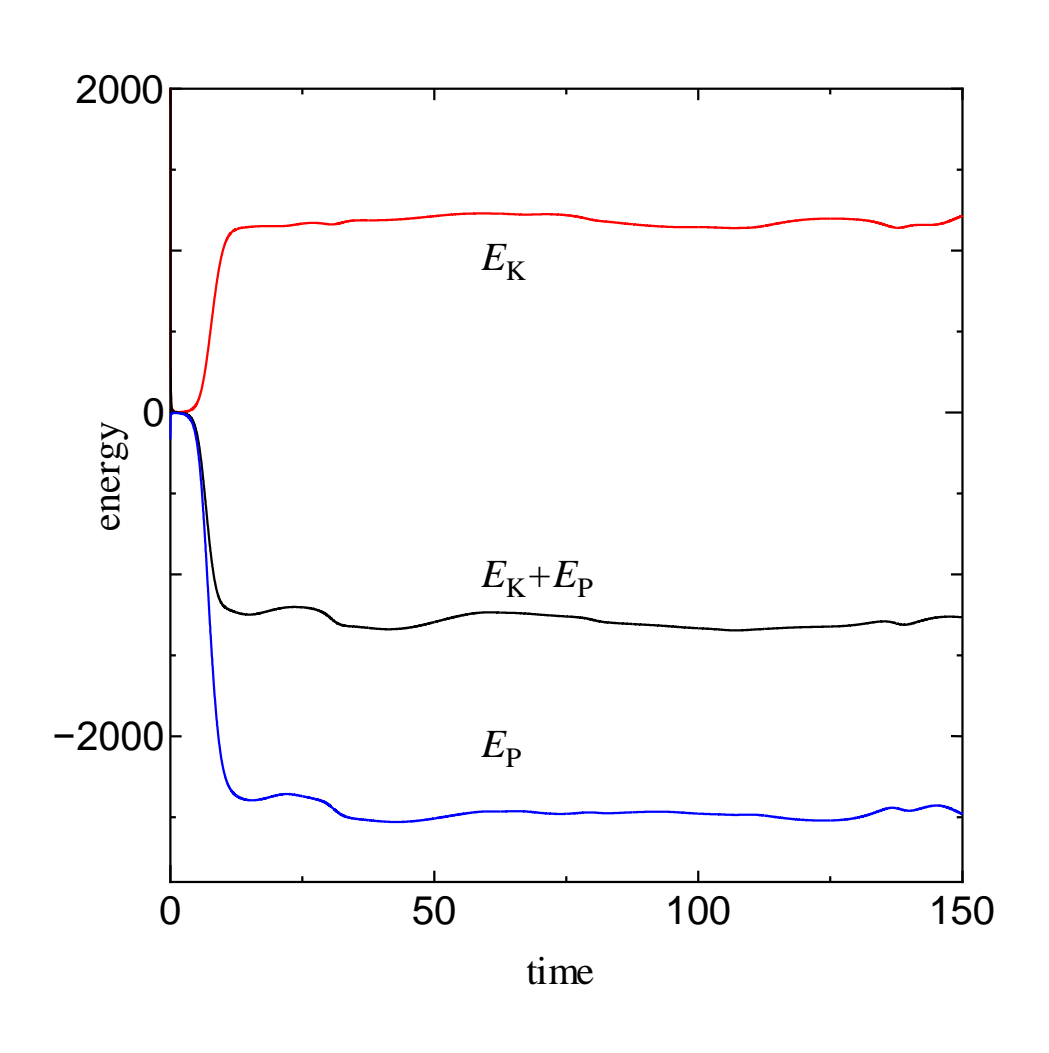
計算結果:3次元横磁界



計算結果:3次元縱磁界



エネルギープロット



今後の展望

- ・ピンの導入
 - ランダム導入で解いてみる
 - ・パーティクル
 - ・ロッド

- ベクトルポテンシャルを解く
 - リンク変数